



رئولوژی تعلیقی‌های پلیمری: آخرین دستاوردها

زهرا دانش فر*

بیزد، دانشگاه بیزد، گروه مهندسی شیمی و پلیمر

فصلنامه علمی
سال ششم شماره دوم، تابستان ۱۴۰۰
Vol. 6, No. 2, Issue No. 21
Quarterly
Summer 2021, صفحه ۴۷-۵۵

Iran Polymer Technology:
Research and Development

واژه‌های کلیدی:

تعلیقی‌های کلوئیدی،
پایداری،
برهم‌کنش‌های کلوئیدی،
گرانزوی،
رئولوژی

تعلیقی‌های کلوئیدی در بیشتر فراورده‌های طبیعی مانند ژل‌ها، امولسیون‌ها، غذاها، سامانه‌های بیولوژیکی و صنعتی مانند پوشش‌ها مشاهده می‌شوند. ویژگی کلیدی در این سامانه‌ها این است که سطح تماس بین ذرات و محیط تعلیقی زیاد است و از این‌رو پایداری و رئولوژی به طور قابل توجهی تحت تأثیر برهم‌کنش‌های بین ذرات قرار می‌گیرد. درک و شناخت عوامل تأثیرگذار بر رئولوژی آن‌ها و کنترل رفتار جریان توسط این عوامل برای دستیابی به فرمول‌بندی موقتی‌آمیز و تنظیم خواص فرایندی اهمیت زیادی دارد. با افزودن ذرات به مایع، گرانزوی درنتیجه اختلال هیدرودینامیکی جریان افزایش می‌یابد؛ به‌طوری‌که با نزدیک‌شدن به مقدار بیشینه درصد حجمی، گرانزوی واگرا می‌شود و برهم‌کنش‌های بین ذرات می‌تواند باعث انحراف از رفتار نیوتینی شامل گرانزوی وابسته به شدت بششی شود. بنابراین رفتار رئولوژیکی در این‌گونه مواد بستگی به درصد حجمی، شکل، اندازه، توزیع اندازه و بار سطحی ذرات دارد. در این مطالعه، ابتدا کلوئیدها و انواع برهم‌کنش‌های کلوئیدی و پایداری آن‌ها مرور می‌شود. سپس اثر عوامل مختلف ناشی از حضور ذرات روی رفتار رئولوژی تعلیقی‌های کلوئیدی بررسی می‌شود.

*پست الکترونیکی مسئول مکاتبات:
daneshfar@yazd.ac.ir

۱ مقدمه

ذرات تحت تأثیر نیروی ثقل و جاذبه قرار می‌گیرند. در صورت غلبه نیروی جاذبه بر نیروی مشخصه براونی، ذرات در تعليق رسوب می‌کنند. نیروی جاذبه برای ذرات با چگالی ρ_p در محیط معلق با چگالی ρ_m براساس قانون ارشمیدس به صورت زیر تعریف می‌شود:

$$F^g = (\rho_p - \rho_m) \frac{4}{3} \pi a^3 g \quad (3)$$

با افزایش اندازه ذرات (بزرگ‌تر از ۱ میکرون) تهشیینی در اثر نیروهای جاذبه رخ داده که در این حالت به دو صورت می‌توان تهشیین ذرات را کاهش داد: ۱) تطبیق چگالی ذرات با چگالی محیط تعليق ۲) استفاده از محیط تعليق بسیار گرانزو را [۲]. رابطه ۴ معیاری برای نسبت نیروهای جاذبه به براونی برای جلوگیری از رسوب ذرات، ارائه می‌دهد:

$$a^4 \Delta \rho g / K_B T \prec 1 \quad (4)$$

a شعاع ذره یا توده ذرات، $\Delta \rho$ اختلاف چگالی بین ذره و ماتریس، g ثابت جاذبه است. ذرات موجود در تعليق کلوئیدی توسط نیروهای سطح، تهی سازی (Depletion) و هیدرودینامیک برهم‌کنش دارند. نیروهای تهی سازی در اثر افزودن پلیمر غیرجاذب یا نانوذره ثانویه در تعليق و مستثنی شدن آنها از فضای بین ذرات به وجود می‌آید. در این حالت افزایش فشار اسمزی منجر به جاذبه بین ذرات می‌شود. این نیروها هنگامی که در محدوده برهم‌کنش ذرات کلوئیدی برستند، ممکن است باعث پایداری و بالعکس ناپایداری تعليق بشوند. نیروهای سطح ناشی از نزدیکی سطوح ذرات در حالتی که سطح ذرات باردار باشند یا دارای یون‌های جاذب، نانوذرات، مولکول‌های سطح فعال و شامل پلیمرهای پیوند خورده بر سطح باشند، به وجود می‌آید [۳].

نیروی جاذبه واندروالس در اثر برهم‌کش بین میدان‌های الکترومغناطیسی در حال نوسان بین دو اتم ایجاد می‌شود. جاذبه واندروالس بین دو ذره کروی با شعاع R و فاصله جدایش r به صورت رابطه ۵ تعریف می‌شود:

$$V_A(r) = \frac{A}{6} \left[\frac{2R^2}{2r^2 - 4R^2} + \frac{2R^2}{r^2} + \ln \left(1 - \frac{4R^2}{r^2} \right) \right] \quad (5)$$

A ثابت هاماکر (Hamaker Constant) توسط خواص مواد ذرات و محیط تعليق، به ویژه قطبش پذیری آنها تعیین می‌شود

شناخت و کنترل رفتار جریان و رئولوژی در تعليق‌های کلوئیدی می‌تواند عملکرد بهینه آنها را در کاربردهای مختلف تضمین کند. در بیشتر تعليق‌ها، اندازه ذرات متفاوت است که می‌تواند به عنوان توزیع اندازه ذرات بیان شود. علاوه بر این، بار الکتریکی سطح ذرات بر رفتار رئولوژیکی سامانه تعليق تأثیر می‌گذارد. در این مطالعه با توجه به گسترده‌گی موضوع، بحث خود را در بسیاری جهات محدود کرده، با حفظ هدف به تعریف کلوئیدها و برهمکنش‌های موجود در آنها پرداخته، در نهایت اثر غلظت، شکل، اندازه و توزیع اندازه و بار سطحی ذرات بر گرانزوی تعليق‌های کلوئیدی بررسی شده است.

۲ کلوئیدها

کلوئید به فاز پراکنده در محیط پیوسته با متوسط اندازه ۱ تا ۱۰۰۰ نانومتر گفته می‌شود که در آن حرکت ذرات فاز پراکنده تحت تأثیر نیروهای براونی (Brownian) است. محدوده ۱ نانومتر به این دلیل مورد نیاز است که جرم کلوئید به طور قابل توجهی از جرم مولکول‌های مایع تعليق بزرگ‌تر باشد. این امر حیاتی است تا محیط معلق را بتوان در مقیاس زمانی و طولی حرکت کلوئیدی پیوستار در نظر گرفت (خواص پیوستار توسط گرانزوی، ثابت دی‌الکتریک، ضربی شکست و... شناسایی می‌شود). کلوئیدها می‌توانند به صورت ذرات مایع یا جامد پراکنده شده در محیط گازی، ذرات مایع، جامد و همچنین گازهای پراکنده در مایعات و جامدات ظاهر شوند.

۳ نیروهای برهم‌کنش بین ذرات کلوئیدی

مقیاس انرژی برای برهم‌کنش‌های کلوئیدی، واحد انرژی حرارتی $k_B T$ ثابت بولتزمن و T (دما) است. نیروهای براونی از برخوردهای حرارتی تصادفی از مولکول‌های محیط تعليق با ذرات کلوئیدی است و به صورت رابطه ۱ تعریف می‌شود:

$$F^B = \frac{k_B T}{a} \quad (1)$$

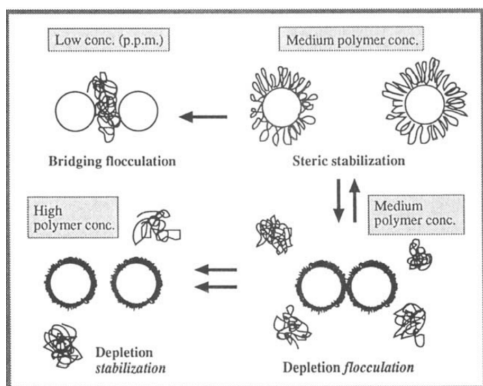
نیروهای هیدرودینامیک ناشی از اغتشاش القا شده در میدان جریان سیال در اثر حضور یک ذره است که باعث اعمال نیرو در محدوده میدان جریان بر روی ذرات دیگر می‌شود. بنابراین نیروی هیدرودینامیک عمل کننده بر روی ذره با سرعت V در سیال با گرانزوی ثابت η_m به صورت زیر است:

$$F^h = 6\pi\eta_m a V \quad (2)$$

حال (به عنوان مثال، pH و مقاومت یونی) تعديل کرد. ذکر این نکته ضروری است که برخلاف پایداری فضایی ایجاد شده در پلیمرهای پیوند زده، پلیمرهای محلول منجر به جاذبه بین ذرات در اثر نیروهای تهی سازی می‌شود. مقدار این پتانسیل بستگی به فشاری اسمزی پلیمر در تعلیق و حجم ناحیه مستثنی شده بین دو ذره دارد. پلیمر جذب شده در محلول رفتار پیچیده تری ایجاد می‌کند که به درجه پوشش سطح بستگی دارد. در غلظت‌های بسیار کم، پلیمر می‌تواند به طور هم‌زمان روی چندین کلوئید جذب شود و پل‌هایی بین ذرات کلوئیدی ایجاد کرده که منجر به لخته‌سازی (Bridging Flocculation) (شکل ۱) با افزایش غلظت، لایه‌های برس مانند (Brush) روی ذرات تشکیل می‌شوند و این برس‌ها می‌توانند در فواصل بزرگ تری گسترش یابند و باعث پایداری تعلیق شوند که همان پایداری استریک است. در غلظت‌های متوسط تا زیاد پلیمر، زنجیره‌های پلیمری آزاد در محلول ممکن است نفوذ کرده، اثرات لخته شدن در اثر نیروهای تهی سازی را به وجود آورند. در غلظت‌های بالای پلیمر، ممکن است باعث پایداری در اثر نیروهای تهی سازی بشوند؛ به طوری که مناطق مستثنی شده از پلیمر بین ذرات تنها در اثر جدایش زنجیره‌های پلیمر و حال ایجاد می‌شود. در حالات‌های خوب، فرایند جدایش از نظر ترمودینامیکی نامطلوب است و در چنین شرایطی می‌توان پایداری از نوع تهی سازی ایجاد کرد [۶].

۵ گرانروی تعلیق‌های کلوئیدی

در هر تعلیق، ذرات موجود به عنوان موانع عمل کرده، بنابراین مقاومت در برابر جریان (گرانروی) افزایش می‌یابد. مدل کلاسیک اینشیتن برای توصیف رفتار جریان در کرات سخت، افزایش گرانروی را به صورت تابعی خطی از درصد حجمی ϕ



شکل ۱ طرح واره اثرات افزودن زنجیر پلیمری بر پایداری و ناپایداری تعلیق کلوئیدی [۶].

[۴]. برای فواصل بین ذره‌ای بزرگ، رابطه ۵ به صورت زیر خلاصه می‌شود [۳]:

$$\lim_{r \rightarrow \infty} V_A(r) = -\frac{16}{9} A \left(\frac{R}{r}\right)^6 \quad (6)$$

در نقطه تماس بین دو ذره ($r=2R$)، پتانسیل جاذبه نامحدود شده و در این حالت ذرات تحت تأثیر این جاذبه‌های قوی، تجمعات (انبوهه) تشکیل می‌دهند:

$$\lim_{r \rightarrow 2R} V_A(r) = -\frac{A}{12} \frac{R}{r-2R} \quad (7)$$

۴ پایداری تعلیق‌های کلوئیدی

پایداری در تعلیق‌های کلوئیدی، بستگی زیادی به برهم‌کنش‌های مقابله بین ذرات و یون‌ها دارد. برخلاف سامانه‌های مولکولی که دامنه برهم‌کنش آن با اندازه ذرات قابل مقایسه است، در تعلیق‌های کلوئیدی دامنه برهم‌کنش کوچک‌تر از اندازه ذرات است. سه روش متداول پایداری الکترواستاتیک، پایداری فضایی (Steric) و پایداری در اثر نیروهای تهی سازی استفاده می‌شود. پایداری الکترواستاتیک، روش پایداری سیتیکی است و این نوع پایداری در سامانه‌های حساس به الکتروولیت قابل استفاده نیست. پایداری فضایی با پوشاندن ذرات کلوئیدی با لایه‌های پلیمری حاصل می‌شود. برهم‌کنش بین لایه‌های پلیمری (به صورت فیزیکی روی ذره جذب شده یا به صورت شیمیایی به آن پیوند زده) زمانی ایجاد می‌شود که فاصله بین ذرات کلوئیدی کم‌تر از دو برابر ضخامت لایه باشد ($2h < 28$). در این حالت زنجیره‌ای پلیمری همپوشانی کرده یا فشرده می‌شوند [۶]. در هر صورت افزایش در تراکم موضعی باعث ایجاد دافعه القا شده در اثر دو عامل زیر می‌شود: ۱) افزایش فشار اسمزی/برهم‌کنش اختلاط در ناحیه همپوشانی و ۲) برهم‌کنش الاستیک/محلودیت حجم در نتیجه کاهش آنتروپی پیکربندی زنجیره پلیمری می‌شود.

گونه‌های پلی الکتروولیت افزودنی‌های پرکاربردی هستند که می‌توانند همزمان پایداری الکترواستاتیک و فضایی را به یک تعلیق کلوئیدی منتقل کنند که اصطلاحاً پایداری الکترواستاتیک (Electristeric) نامیده می‌شود. پلی الکتروولیت‌ها حاصل دارای یک نوع گروه یونیزه‌شدن (به عنوان مثال، گروه‌های اسید کربوکسیلیک یا سولفورنیک)، با ساختارهای مولکولی از هموپلیمرها مانند پلی (اسید اکریلیک) تا کوبالیمراهای بلوكی دارای یک یا چند بخش یونیزه هستند. جذب پلی الکتروولیت به شدت تحت تأثیر خصوصیات شیمیایی و فیزیکی سطح جامد و محیط حلال است. برای یک سامانه، می‌توان رفتار جذب و ترکیب گونه‌های پلی الکتروولیت را با تنظیم شرایط

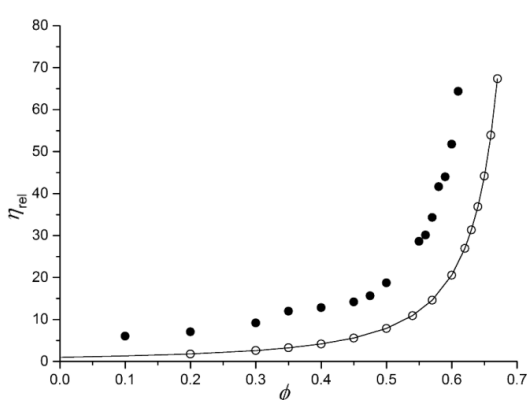
فشردگی تعیین می شود که به شکل ذرات و توزیع اندازه ذرات بستگی دارد اما به اندازه ذرات بستگی ندارد. با فرض ذرات کروی، بسته به طرح فشردگی، η_{max} می تواند 0.52 تا 0.74 باشد که برای کرات سخت در حالت فشردگی تصادفی (Random Close Packing) $\eta_{max} = 0.6412$ است [۱۳].

وابستگی گرانروی نسبی به درصد حجمی برای لاتکس لاستیک طبیعی با اندازه ذرات $2-3\text{ }\mu\text{m}$ میکرومتر، در شکل ۲ نشان داده شده است [۱۲]. همان طور که مشاهده می شود منحنی مربوط به داده های آزمایشگاهی از مدل کرایگر-دوتری انحراف نشان می دهد. این انحراف به دلیل وجود کرات نرم (Soft Sphere) در اثر حضور گروه های کربوکسیلیک بر روی سطح ذرات است. با افزایش درصد حجمی، برهم کنش بین ذرات در سطح افزایش یافته که منجر به افزایش در گرانروی می شود که به دلیل برهم کنش های هیدرودینامیک از ذرات لاتکس با محیط معلق است. نیروهای بین ذره باعث تشکیل ساختار و افزایش در گرانروی می شود. گرانروی نسبی افزایش زیادی در درصد های حجمی نزدیک به 0.5 نشان می دهد.

مقدار η_{max} را می توان از رسم نمودارهای درصد حجمی بر حسب $1/\eta_{rel}$ واز برونو یابی داده ها به دست آورد که برای این سامانه مقدار $\eta_{max} = 0.75$ به دست می آید [۱۲].

۱-۵ وابستگی گرانروی به تنش برش

همان طور که می دانیم رفتار جریان در تعليق کلوئیدی در اثر تعادل بين برهم کنش های هیدرودینامیک و ترمودینامیک همانند حرکت برآونی ذرات کنترل می شود. برهم کنش های ترمودینامیک شامل برهم کنش های الکترواستاتیک، دافعه فضایی، جاذبه و اندروالس و جاذبه تهی سازی است. در شکل ۳



شکل ۲ وابستگی گرانروی نسبی بر حسب درصد برای ذرات لاتکس لاستیک طبیعی: ● داده های آزمایشگاهی، ○ مدل کرایگر-دوتری [۱۲].

بيان می کند [۷-۸]:

$$\eta_r = \frac{\eta}{\eta_s} = (1 + 2.5\phi) \quad (8)$$

η گرانروی تعليق، η_s گرانروی محیط تعليق و η_r گرانروی نسبی است. معادله انيشتین برای η_r به کار برده می شود تا اطمینان حاصل شود که جریان اطراف یک ذره بر روی میدان سرعت هیچ ذره دیگری تأثیر نمی گذارد. با افزایش درصد حجمی، ذرات، برهم کنش های هیدرودینامیک را احساس می کند و اصطلاحات مرتبه بالاتر در η_r باید در نظر گرفته شوند. اثر برهم کنش های هیدرودینامیکی دو كره بر گرانروی تعليق توسط Batchelor محاسبه شده است [۹].

$$\eta_r = 1 + 2.5\phi + 6.2\phi^2 \quad (9)$$

معادله بچلوور برای η_r قابل قبول است. برای درصد های حجمی بالاتر ذرات، برهم کنش های چند ذره ای مهم شده و تجزیه و تحلیل نظری آن دشوار است. کرایگر و دوتری [۱۰] معادله ای نیمه تجربی را برای وابستگی گرانروی به درصد حجمی ارائه دادند:

$$\eta_r = \left(1 - \frac{\phi}{\phi_{max}} \right)^{-2.5\phi_{max}} \quad (10)$$

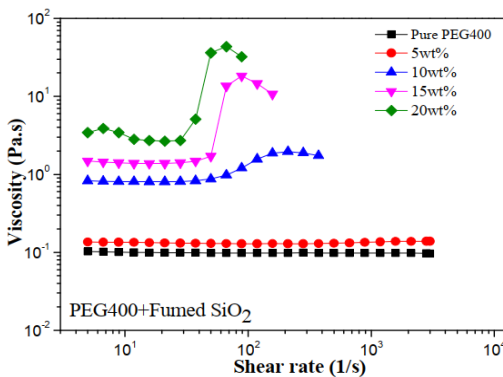
در این مدل دو پارامتر ورودی اضافی مورد نیاز است. ϕ_{max} حداقل درصد حجمی است، درصورتی که تعليق بتواند جریان داشته باشد. [η] گرانروی ذاتی است که معیاری از شکل ذرات است و مقداری بدون بعد است که به صورت زیر تعریف می شود:

$$[\eta] = \lim_{\phi \rightarrow 0} \frac{\eta - \eta_s}{\phi \eta_s} \quad (11)$$

ایلرز مدل دیگری را برای پیش بینی وابستگی (ϕ) پیشنهاد کرد: [۱۱]

$$\eta_r = \left(1 + \frac{\frac{1}{2}[\eta]\phi}{1 - \phi/\phi_{max}} \right) \quad (12)$$

مقدار مطلق برای حداقل درصد فشردگی η_{max} توسط هندسه



شکل ۳ گرانزوی به عنوان تابعی از شدت برشی در درصدهای حجمی متفاوت برای پراکنش ذرات سیلیکا/پلی‌اتیلن گلیکول با جرم مولکولی ۴۰۰ [۱۴].

ذرات کتترل می‌شود.

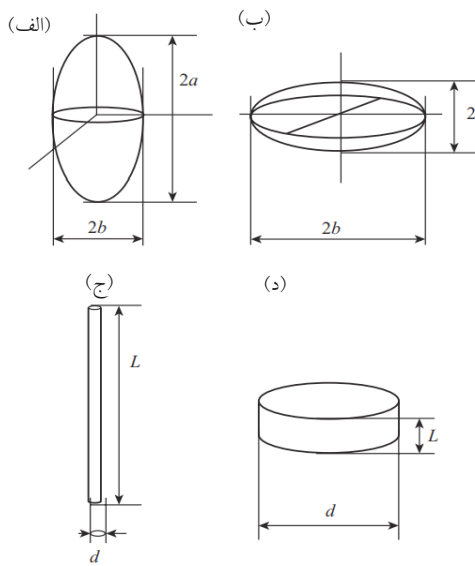
۲-۵ اثر اندازه و توزیع اندازه ذرات بر گرانزوی

همانطور که می‌دانیم در درصد حجمی معین، اندازه ذرات کوچک‌تر حاوی تعداد بیشتری ذره است. بنابراین مساحت سطح ذرات می‌تواند چندین مرتبه بیشتر شود. همچنین با کاهش در اندازه، حرکت برآونی که در برابر نیروی برشی اعمالی مقاومت می‌کند، افزایش می‌یابد. همان‌طور که در بخش قبلی ذکر شد، رفتار رقیق شدن برشی برای تعلیق حاوی درصد حجمی معینی از ذرات مشاهده می‌شود. اختلاف گرانزوی بین ذرات کوچک و بزرگ با افزایش در شدت برشی کاهش می‌یابد؛ زیرا ذرات با توجه به جهت جریان بازآرایی می‌یابد. با این حال، برای اکثر تعلیق‌های کلوئیدی، اندازه ذرات یکنواخت نیستند و توزیعی از اندازه ذرات وجود دارد. در این حالت گرانزوی برای تعلیق‌های کلوئیدی با توزیع اندازه پهن می‌تواند یک یا بیشتر از یک مرتبه ده تا بیست مرتبه باشد. با این حال، این توزیع اندازه باریک افت کند که به دلیل فشرده‌گی موثر ذرات چندتوزیعی برای نسبت اندازه زیاد است. نسبت اندازه ذرات بزرگ به ذرات ریز که به صورت $D_s = D_l/D = \delta$ تعریف می‌شود (D_s به ترتیب قطر ذره بزرگ و ریز است). این فشرده‌گی موثر در اثر قرار گرفتن ذرات کوچک در فضای خالی مابین ذرات بزرگ‌تر است. بیان نظری این است که در تعلیق دوتایی (Bimodal) از ذرات کلوئیدی با فرض این که بین ذرات کوچک و بزرگ برهم کشی نباشد، هنگامی که نسبت اندازه دو ذره ($\delta > 10$)، ذرات کوچک همراه با مولکول‌های محیط تعلیق، مانند مایع رفتار کرده است. در این حالت گرانزوی در تعلیق دوتایی از ذرات در درصد

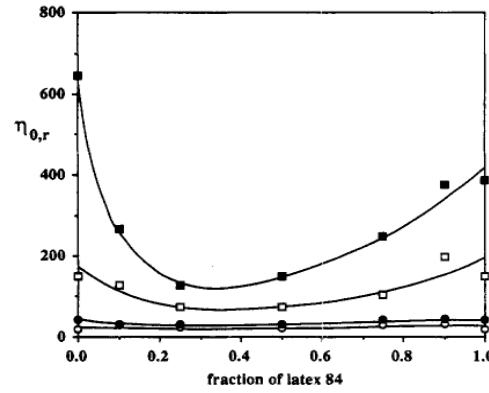
نمودار گرانزوی به عنوان تابعی از شدت برش برای تعلیق ذرات سیلیکا که گداخته/پلی‌اتیلن گلیکول با جرم مولکولی ۴۰۰ گرم بر مول نشان داده شده است. همان‌طور که مشاهده می‌شود پلی‌اتیلن گلیکول خالص رفتار نیوتونی را نشان می‌دهد. با افزودن ذرات سیلیکا، انحراف از رفتار نیوتونی مشاهده شده به طوری که با افزایش در شدت برش رفتار رقیق شدن برشی (کاهش گرانزوی با شدت برش) مشاهده می‌شود. شدت برشی که در آن رفتار رقیق شدن برشی شروع می‌شود بستگی به تعادل نیروهای برآونی و نیروهای هیدرودینامیک در سامانه دارد. از این رو از عدد پلکه (Pe) برای بدون بعد کردن کمیت شدت برش و بیان اهمیت نسبی این دو نیرو استفاده می‌شود:

$$Pe = \frac{6\pi\eta\dot{\gamma}\langle a \rangle^3}{k_B T} \quad (13)$$

این رفتار برای کاربردهای صنعتی حائز اهمیت است؛ زیرا می‌توان از ذرات کلوئیدی برای ایجاد گرانزوی برشی کم استفاده کرد. درحالی که به دلیل رفتار رقیق شدن برشی، می‌تواند با انرژی کمتری در تنفس‌های برشی بالای جریان، افسانه یا پخش شوند. این رفتار را می‌توان با توجه به ریزساختار تعلیق در حالت استراحت و ریزساختار القا شده در اثر جریان درک کرد. در شدت‌های برش کم ($Pe \approx 1-10/5$)، جریان برشی، ذرات را به صورت ردیف‌های کمی منظم بازآرایی کرده، به طوری که در مقابل جریان، مقاومت کمی نشان داده است. شروع رفتار غیر نیوتونی (رقیق شدن برشی) برای تعلیق‌های مختلف بسیار متغیر است و ممکن است از $\phi = 0.1-0.5$ مشاهده شود [۱۲]. از طرف دیگر، اندازه ذرات بر گرانزوی در ناحیه رقیق شدن برشی تأثیر می‌گذارد که به دلیل سهم افزایش یافته برهم کنش‌های هیدرودینامیکی در اتلاف گرانزوی است. به عبارت دیگر در درصد حجمی ثابت، با کاهش اندازه ذرات به دلیل مساحت سطح بزرگ‌تر و فواصل جداسازی کوچک‌تر بین ذرات، سهم برهم کنش‌های هیدرودینامیک افزایش می‌یابد. در شدت‌های برشی زیاد، ذرات نزدیک به یکدیگر قرار گرفته و برهم کنش‌هایی از نوع نیروهای هیدرودینامیک، منجر به کوپل حرکت نسبی ذرات با یکدیگر شده و خوش‌هایی از ذرات تشکیل می‌شوند. این خوش‌های باعث اتلاف بیشتری در انرژی شده و افزایش بیشتر از یک مرتبه ده تا بیست مرتبه در گرانزوی با تنفس برشی مشاهده می‌شود که همان رفتار غلیظ شدن برشی است (شکل ۳). انتقال از رفتار رقیق شدن برشی به غلیظ شدن برش برای هر تعلیق خاص است و توسط عواملی مانند اندازه و توزیع اندازه و شکل



شکل ۵ هندسه‌های پایه برای ذرات نامتقارن: (الف) کره‌های Pe_{rot} ، (ب) کره‌های Oblate، (ج) الیاف یا میله‌ای، (د) دیسک گونه [۳].



شکل ۴ گرانزوی نسبی در شدت برش صفر در مخلوط دوتایی از لاتکس پلی متیل متاکریلات با متوسط اندازه ۸۴ و ۱۴۱ نانومتر به عنوان تابعی از درصد حجمی لاتکس ریز نانومتر در درصد حجمی کل: (○) ۰/۴۷۸، (■) ۰/۵۱۷، (□) ۰/۵۶۲ و (●) ۰/۵۸۲.

زیر بیان می‌شود [۱۹]:

$$[\eta]_\infty = 2.5 + 0.123(r_p - 1)^{0.925} \quad (15)$$

بی‌نظمی سطح ذره به دو دلیل منجر به افزایش در گرانزوی می‌شود: انحراف خطوط جريان حالی که در اطراف ذرات، جريان دارد نسبت به کره‌های هماندازه قوی‌تر است و افزایش حجم موثر ذرات باعث افزایش احتمال برهم‌کنش بین ذرات می‌شود. این اثر برای درصدهای حجمی زیاد از ذرات و در تنش‌های برشی بالا، قوی‌تر است. رئولوژی تعلیق حاوی ذرات متقارن تا حد زیادی تحت تأثیر جهت‌گیری ذرات با توجه به جريان قرار می‌گیرد. جهت‌گیری ذرات توسط تعادل بین نیروهای هیدرودینامیک که تمایل به جهت‌گیری ذرات در جهت جريان دارند و نیروهای براونی که تمایل به جهت‌گیری تصادفی دارند می‌شود. اهمیت نسبی هر یک توسط عدد بدون بعد پکله چرخشی Pe_{rot} بیان می‌شود. برای ذرات دیسک مانند در شکل ۵، نسبت منظر $\frac{b}{a}$ به صورت رابطه زیر بیان می‌شود:

$$Pe_{rot} = \frac{32\eta\dot{\gamma}a^3}{3kT} \quad (16)$$

برای ذرات میله‌ای مانند با طول $2b$ با $r_p = \frac{b}{a}$

$$Pe_{rot} = \frac{8\pi\eta b^3 \dot{\gamma}}{3kT (\ln r_p - 0.8)} \quad (17)$$

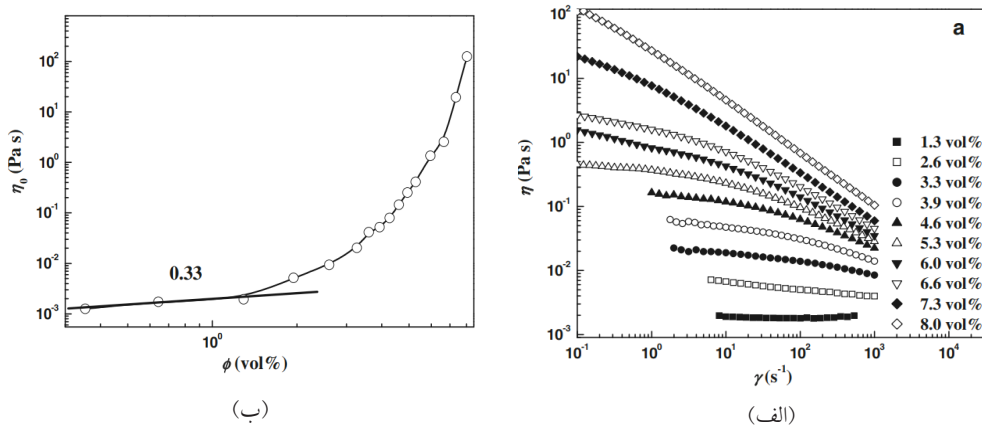
حجمی از ذرات کوچک ($S=0/27$) نسبت درصد حجمی ذره ریز به کل درصد حجمی ذرات تعريف می‌شود) کمینه می‌شود [۱۵]. مطالعات آزمایشگاهی برروی تعلیق‌های ذرات غیرکلوبیدی [۱۶] همانند سامانه‌های کلوبیدی [۱۷-۱۸] مقدار بهینه از ذرات کوچک نزدیک به ($S=0/35$) را تأیید کردند که در آن گرانزوی کمینه می‌شود. رودریگر و همکاران [۱۷] نشان دادند که برای تعلیق‌های کرات سخت کلوبیدی در درصدهای حجمی بالاتر از $0/55$ با نسبت اندازه $1/7$ گرانزوی در $S=0/35$ کمینه می‌شود (شکل ۴). همچنین در این حالت حداقل درصد حجمی افزایش می‌یابد و بنابراین براساس معادله کریگر و دوتیری (معادله ۱۷)، با افزایش ϕ_{max} گرانزوی کاهش می‌یابد. افزایش حداقل درصد حجمی به دلیل فشرده‌گی موثر کره‌های با توزیع پهن نسبت به توزیع باریک است.

۳-۵ اثر شکل ذرات بر گرانزوی

ذرات می‌توانند از طریق داشتن تقارن محوری یا شکل نامنظم از شکل کروی خارج شوند. به طور معمول برای ذرات نامتقارن نشان داده شده در شکل ۵، نسبت منظر $\frac{b}{a}$ به صورت زیر تعريف می‌شود:

$$r_p = \frac{b}{a} \quad (14)$$

به طوری که b طول ذره در امتداد محور تقارن و a طول عمود بر این محور است. برخی از نمونه‌های کروی در شکل ۵ نشان داده شده است. گرانزوی ذاتی برای این گونه ذرات توسط رابطه



شکل ۶ (الف) وابستگی گرانزوی به عنوان تابعی از شدت برش برای تعلیق‌های آبی ریقیق از نانوبلورهای سلولز، (ب) وابستگی گرانزوی در شدت برش صفر به درصد حجمی [۲۰].

دوتایی از تقارن کروی مرتبط است. تنش‌های ایجاد شده توسط میدان‌های الکتریکی نامتقارن در اطراف ذره تمایل به بازگرداندن تقارن لایه دوتایی دارند، در نتیجه با جریان مخالفت می‌کنند. رابطه گرانزوی در این حالت به صورت زیر بیان می‌شود [۲۲]:

$$\eta_r = 1 + 2.5\phi(1+p) \quad (18)$$

P ضریب الکتروویسکوز است که باعث افزایش اتلاف و گرانزوی در سامانه می‌شود. همان‌طور که ذکر شد، جریان اطراف ذره تغییر مختصی در اثر حضور لایه الکتریک دوتایی نشان می‌دهد. این شرایط برای هنگامی که عدد بدون بعد نشان باشد. با این عدد هارتمن الکتریک گویند (Hartmann (Ha) (به آن عدد هارتمن الکتریک گویند) کوچک باشد، است. این عدد بیانگر نسبت نیروهای الکتریک به گرانزو در مایعات است و رابطه کلی آن به صورت زیر است:

$$Ha = \frac{\epsilon \epsilon_0 \psi_s^2}{\omega_i k_B T \eta_m} \quad (19)$$

۱) تحرک یون است. با افزایش درصد حجمی ذرات، برهم‌کنش‌های ذرات الکترواستاتیک به اتلاف انرژی و الاستیسیته تعلیق کمک می‌کند. دافعه بین ذرات باردار، آنها را از هم دورتر کرده، از طریق جریان‌های مایع تحت فشار قرار می‌دهد. افزایش مربوط به گرانزوی به دلیل اثر الکتروویسکوز ثانویه می‌تواند قابل توجه باشد. همچنین دافعه الکترواستاتیک در کشسانی تعلیق نقش دارد. اثر الکتروویسکوز سوم در محلول‌های پلی‌الکترولیت رخ می‌دهد که به پیکربندی مولکولی

نمودار گرانزوی بر حسب شدت برش (شکل ۶ (الف)) برای تعلیق آبی نانوبلورهای سلولز در غلظت‌های بسیار کم، رفتار نیوتونی را نشان می‌دهد [۲۰]. با افزایش درصد حجمی ذرات، گرانزوی افزایش می‌یابد که به دلیل برهم‌کنش‌های بین ذرات است. در شدت‌های برشی بالا، رفتار ریقیق شدن برشی زیادی مشاهده می‌شود. عدم تقارن ذرات همچنین تأثیر زیادی روی حداکثر درصد فشرده‌گی و در نتیجه وابستگی گرانزوی به درصد حجمی دارد. با افزایش نسبت منظر، حجم موثر ذرات نامتقارن شدیداً افزایش می‌یابد و انتظار می‌رود برهم‌کنش‌های ذره-ذره در درصد حجمی پایین تری نسبت به تعلیق ذرات کروی با حجم فاز یکسان باشد. با این وجود ذرات دارای تقارن محوری می‌توانند به صورت فشرده‌تری نسبت به کرات قرار بگیرند، و اگرایی گرانزوی در نرخ برشی صفر در درصد حجمی کم تری اتفاق می‌افتد (شکل ۶ (ب)).

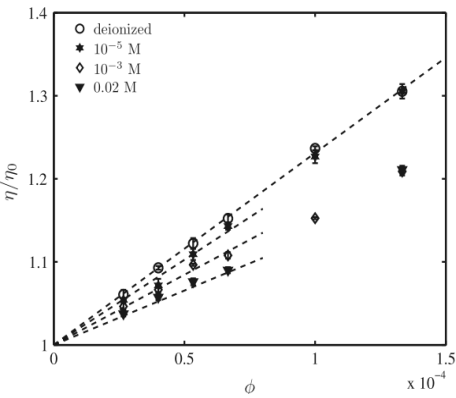
۴-۴ اثر بار سطح ذرات بر گرانزوی

وجود لایه دوتایی الکتریکی در اطراف ذرات باردار می‌تواند به روش‌های مختلف بر گرانزوی تعلیق تأثیر بگذارد. در ناحیه ریقیق، برهم‌کنش‌های بین ذرات مستقیماً اثری روی گرانزوی ندارند و می‌توان انتظار داشت که جریان اطراف ذره باردار مشابه جریان در کره سخت باشد. با این تفاوت، در حضور لایه الکتریک دوتایی در سطح ذره، گرانزوی ذاتی بیشتر از مقدار پیش‌بینی شده توسط مدل ائیشتین خواهد بود. این اثر الکتروویسکوز (Electroviscous) اولیه کم است [۲۱] که به علت میدان جریان با اعوجاج هیدرودینامیکی لایه الکتریکی

گرانزوی به دلیل لخته شدن ذرات (Flocculation) و افزایش درصد حجمی موثر نانوالیاف، افزایش می‌یابد.

۶ نتیجه‌گیری

بررسی خصوصیات پایداری و رئولوژی در تعليق‌های کلوئیدی برای فرمول‌بندی محصولات در صنایع مختلف جوهر، رنگ، پلیمر، صنایع غذایی و دارویی اهمیت ویژه‌ای دارد. اندازه و دامنه برهم‌کش‌های بین ذرات کلوئیدی، پایداری و رفتار جریان را تحت تأثیر می‌گذارد. بنابراین رفتار رئولوژیکی در این گونه سامانه‌ها به ویژه در درصدهای حجمی زیاد پیچیده است و بستگی به درصد حجمی، شکل، اندازه (توزیع) و بار سطحی ذرات دارد. در درصدهای حجمی بسیار کم از ذرات، ممکن است رفتار نیوتونی مشاهده شود و با افزایش درصد حجمی، واگرایی در گرانزوی و وابستگی گرانزوی به شدت برش (رفتار غیرنیوتونی) مشاهده شود. اندازه، بار سطحی و شکل ذرات، برهم‌کش‌های بین ذرات را تحت تأثیر قرار داده و وابستگی گرانزوی به درصد حجمی و شروع رفتار غیرنیوتونی مانند رقیق شدن برشی و شدت آن را تغییر می‌دهد. به عنوان مثال بار سطحی ذرات، اثرات الکتروویسکوز متفاوتی بسته به قدرت یونی و درصد حجمی ذرات ایجاد می‌کند.



شکل ۷ گرانزوی نسبی بر حسب درصد حجمی در تعليق نانوالیاف سلولز/آب در غلظت‌های مختلف نمک کلریدسدیم. نماد داده‌های آزمایشگاهی [۲۳].

به قدرت یونی محلول بستگی دارد. پلی‌الکتروولیت‌های پیوند شده یا جذب شده در سطح ذرات بسته به pH محیط و قدرت یونی متورم یا فرو می‌ریزند. در شکل ۷ وابستگی گرانزوی نسبی بر حسب درصد حجمی برای تعليق آبی نانوالیاف سلولز در غلظت‌های مختلف نمک نشان داده شده است. با افزایش غلظت نمک، گرانزوی کاهش می‌یابد که در نتیجه کاهش دامنه دافعه الکترواستاتیک (کاهش ضخامت لایه الکتریک دوتایی) با افزایش در مقدار الکتروولیت است. با افزایش درصد حجمی،

مراجع

1. Russel W.B Saville D.A., Schowalter W.R., *Colloidal Dispersions*, Cambridge: Cambridge University Press, New Jersey, **1989**.
2. Larson R.G., *The Structure and Rheology of Complex Fluids*, Oxford University Press, New York, **1999**.
3. Mewis J., Wagner N.J., *Colloidal Suspension Rheology*: Cambridge University Press, Cambridge, **2012**
4. Hiemenz P.C., Rajagopalan H.R., *Principles of Colloid and Surface Chemistry*, 3rd ed. Marcel Dekker, Inc, New York, **1997**.
5. Lim J. K., Majetich S. A., Tilton R. D., Stabilization of Superparamagnetic Iron Oxide Core-gold Shell Nanoparticles in high ionic strength media, *Langmuir*, 25, 13384–13393, **2009**.
6. Everett D., *Basic Principles of Colloid Science*, Royal Soc. Chem, London, **1988**.
7. Einstein A., Eine Neue Bestimmung der Moleküldimensionen, *Ann. Phys.*, 289, **1906**.
8. Einstein A., Berichtigung zu Meiner Arbeit: Eine Neue Bestimmung der Moleküldimensionen, *Annalen der Physik* 339, 591–592, **1911**.
9. Batchelor G.K., The effect of Brownian Motion on the Bulk Stress in a Suspension of Spherical Particles, *J. Fluid Mech.*, 8397, **1977**.
10. Krieger I.M., Dougherty T.J., A Mechanism for Non-Newtonian Flow in Suspensions of Rigid Spheres, *Trans. Soc. Rheol.*, 3, 137, **1959**.
11. Ferrini F., Ercolani D., Cindio B.D., Nicodemo L., Nicolais L., Ranaudo S., Shear Viscosity of Settling Suspensions, *Rheol. Acta* 18, 289–96, **1979**.
12. Lim H.M., Misini M., Colloidla and Rheological Properties of Natural Rubber Latex Concentrate, *Applied Rheology*, 26, 15659, **2016**.
13. Buscall R., D'Haene P., Mewis J., Maximum Density for Flow of Dispersions of Near Monodisperse Spherical-particles, *Langmuir*, 10, 1439, **1994**.
14. Liu X.Q.; Bao R.Y., Wu X.J., Yang W., Xie B.H., Yang M.B., Temperature Induced Gelation Transition of Fumed silica/PEG Shear Thickening Fluid, *RSC Adv*, 5, 18367-18374, **2015**.
15. Farris R.J., Prediction of the Viscosity of Multimodal Suspensions from Unimodal Viscosity Data, *Trans. Soc. Rheol.*, 12, 281, **1968**.
16. Chong J.S., Christiansen E.B., Baer A.D., Rheology of Concentrated Suspensions, *J. Appl. Polym. Sci*, 15, 2007, **1971**.
17. Rodriguez B.E., Kaler E.W., Wolfe M.S., Binary Mixtures of Monodisperse Latex Dispersions 2. Viscosity, *Langmuir*, 8, 2382, **1992**.
18. Jiang T., Zukoski C.F., The Effect of Polymer-induced Attraction on Dynamical Arrests of Polymer Composites with Bimodal Particle Size Distributions, *Soft Matter*, 9, 3117, **2013**.
19. Pabst W., Gregorova E., Berthold C., Particle Shape and Suspension Rheology of Short-fiber Systems, *Journal of the European Ceramic Society*, 26, 149–160, **2006**.
20. Lu A., Hemraz U., Khalili Z.; Boluk Y, Unique Viscoelastic Behaviors of Colloidal Nanocrystalline Cellulose Aqueous Suspensions, *Cellulose*, 21, 1239-1250, **2014**.
21. Conway B.E., Dobry-Duclaux A., Viscosity of Suspensions of Electrically Charged Particles and Solutions of Polymeric Electrolytes, In F. R. Eirich, ed., *Rheology: Theory and Applications*, New York: Academic Press, 83–120, **1960**.
22. Smoluchowski M., i Theoretische Bemerkungen Über Die Visckosit „ at der Kolloide .*Kolloid-Zeitschrift*. 18 , 190 , **1916**.
23. Jowkarderis L., van de Ven T., Intrinsic Viscosity of Aqueous Suspensions of Cellulose Nanofibrils, *Cellulose*, 21, 2511-2517, **2014**.

